

# لوكاليزاسيون و توزيع توپوگرافيك منشأ آورانهای تشکيلات هيبوكامپ به سپتم در موش صحرائي

پريچهر پاس بخش، <sup>☆</sup>Ph.D.<sup>\*</sup>، هاشم حقدوست، <sup>☆</sup>Ph.D.<sup>\*</sup>، ژيلا بهزادی

دانشگاه علوم پزشكى تهران، دانشکده پزشكى، گروه آناتومى

دانشگاه علوم پزشكى شهيد بهشتى، دانشکده پزشكى، گروه فيزيولوژي

تهران، صندوق پستى ۱۴۱۵۵-۶۴۴۲، دانشگاه علوم پزشكى تهران، دانشکده پزشكى، گروه آناتومى

## چكیده

\* هدف: ناحيه سپتال يك مرکز مهم تلاستفاليك است که نقش مهمی در فرایندهای یادگیری، هیجانی، رفتار جنسی و کنترل اعمال اتونومیک اینها می‌نماید. این ناحیه دارای ۲ بخش اصلی سپتم جانبی (LS: Lateral Septal) و سپتم میانی (MS: Medial Septal) می‌باشد که هر دو آورانهای قابل ملاحظه‌ای از تشکيلات هيبوكامپ دریافت می‌کنند. در این مطالعه، ما توزيع کمی و كيفی نورونهای منشأ آورانها را مورد مقایسه قرار دادیم.

\* مواد و روشها: در دو گروه متفاوت از موشهای صحرائي نر، مقدار يك ميكروليتر هاميльтون به درون سپتم میانی یا سپتم جانبی تزریق گردید. پس از گذشت ۴۸ تا ۷۲ ساعت بافت مغز به روش پرفیوژن از راه بطون چپ تثبیت گردید. پس از تهیه مقاطع ۷۰ میکرونی و انجام واکنش‌های هیتوشیمیابی TMB مقاطع با استفاده از رنگ قرمز خشی رنگ آمیزی شدند.

\* یافته‌ها: متعاقب تزریق به هر دو ناحیه سپتم جانبی و میانی، نورونهای نشاندار شده بصورت رتروگراد در نواحی CA1-2 شاخ آمون و سایکلولوم و پره سایکلولوم در تشکيلات هيبوكامپ مشاهده شدند. شمار اين نورونهای پس از تزریق به سپتم جانبی در مقایسه با بخش سپتم میانی بيشتر بود. تخره توزيع اين نورونهای همچنین رنگ نورونهای دریافت‌کننده HRP پس از تزریق به سپتم جانبی پر رنگتر از آنها پس از تزریق به سپتم میانی بود.

\* نتیجه‌گيری: نتایج حاصل از تحقیق حاضر نشان می‌دهد که اگرچه هر دو سپتم جانبی و میانی از تشکيلات هيبوكامپ آوران دریافت می‌دارند لکن تفاوت قابل ملاحظه‌ای در توزيع کمی منشأ هيبوكامپی این آورانها وجود دارد که می‌تواند مبنای برای عملکرد متفاوت این دو ناحیه از سپتم باشد.

گل واژگان: ناحیه سپتال، هيبوكامپ، ردیاب HRP، آورانهای سپتم

## مقدمه

ناحیه سپتال قسمتی از تلانسفال است که در بین شاخهای قدامی بطن‌های جانی و در زیرکورپوس کالولزوم قرار می‌گیرد. این ناحیه در کنترل بسیاری از فرایندهای فیزیولوژیک و رفتاری که در ارتباط با اعمال سطح بالای ذهنی نظیر یادگیری و حافظه، هیجانات، ترس، رفتار تهاجمی و استرس است می‌باشد.

بر طبق آخرین یافته‌های آناتومیک و فیزیولوژیک این ناحیه به سه بخش سپتوم پشتی (Dorsal)، سپتوم جانی و سپتوم میانی (Medial) تقسیم می‌شود (۱). سپتوم خلفی (پشتی) در واقع در امتداد سپتوم جانی در بخش خلفی سپتوم می‌باشد و شامل دو هسته‌تری انگولار و Septofimbrial و دسته فیبرهای فورنیکس می‌باشد. سپتوم جانی بزرگ‌ترین بخش ناحیه سپتال بوده که آورانهای فراوانی را از نواحی گوناگون در تلانسفال، دیانسفال و ساقه مغز دریافت می‌دارد (۲-۶). ارتباط آورانی این بخش از تشکیلات هیپوکامپ در موش صحرایی و دیگر جانوران به خوبی توضیح داده شده است (۷-۱۰). از طرف دیگر ناحیه میانی سپتوم مثأة فیرهای سپتوبیهپوکامپ بوده که یک مسیر مهم در رابطه با حافظه کاری غیرفضایی و خاطره فضایی می‌باشد (۱۱، ۱۲).

تحقیقات زیادی بر روی ویژگی‌های فیزیولوژیک، آناتومیک و فارماکولوژیک این مسیر انجام شده است (۱۳-۲۱)، در مقابل بر روی آورانهای تشکیلات هیپوکامپ به سپتوم میانی گزارش کمتری در دسترس می‌باشد. با این وجود در گزارش ارائه شده توسط Gaykema و همکاران در سال ۱۹۹۱ با استفاده از تکنیک ریدیابی انتروگراد-L-PHA این آورانها توضیح داده شده‌اند (۲۲).

مطالعه مقالات و متون مختلف بر روی عملکرد ناحیه سپتال مشخص می‌سازد که از نظر عملکردی دو ناحیه سپتوم میانی و سپتوم جانی بصورت مجرماً عمل نموده و درگیر در فرایندهای تقریباً مجزایی می‌باشد. از طرف دیگر بررسی سیستم‌های آورانی به ناحیه سپتال نشان می‌دهد که مثأة آورانها به ناحیه سپتوم میانی و جانی تقریباً مشابه می‌باشد. بعنوان مثال نواحی یکسانی در تشکیلات هیپوکامپ دو ناحیه سپتوم جانی و میانی را عصب دهی می‌نمایند. (۱۴، ۱۵).

سپتوم میانی نقش مهمی در رابطه با حافظه و یادگیری دارا می‌باشد ولی سپتوم جانی با دریافت آورانها از بسیاری از نواحی مغز و از طریق رله و تعدیل آنها، در کنترل بسیاری از رفتارهای تهاجمی، جنسی و اجتماعی، اعمال اتونومیک مانند کنترل آشامیدن آب و خوردن نمک نقش دارد (۱). ارتباطات یک ناحیه از بهترین وسائل برای درک مکانیسم‌های فیزیولوژیک عملکرد آن ناحیه می‌باشد. ضمناً مطالعات گذشته ارتباط آورانی وسیعی از تشکیلات هیپوکامپ به ناحیه سپتوم را گزارش نموده‌اند. بنابراین با توجه به اینکه نشان دادن آورانهای یک هسته در رابطه با تنوع و وسعت محل تزریق ریدیاب و دربرگرفتن نقاط مختلف آن هسته در تزریق‌های بی در بی می‌باشد، در این تحقیق سعی شده است که با استفاده از تزریق مقادیر نسبتاً زیاد HRP که می‌تواند حجم قابل ملاحظه‌ای از ناحیه موردنظر را دربرگیرد، بررسی مجددی بر روی توزیع نورونهای مثأة آورانها به سپتوم میانی و سپتوم جانی از تشکیلات هیپوکامپ به عمل آید و توزیع آنها بصورت کمی و کیفی

موردن مقایسه قرار گیرد.

## مواد و روشها

### \* مدل بیولوژیک

تحقیق حاضر بر روی ۲۵ موش صحرایی نر از نژاد Sprague-Dawley (انستیتو پاستور تهران) با وزن ۹۲-۲۸۰ گرم انجام گرفت. موشها در حیوانخانه در تحت شرایط ۱۲ ساعت تاریکی و ۱۲ ساعت روزنایی و دمای  $21 \pm 3^\circ\text{C}$  سانتی‌گراد نگهداری شده و به دو گروه تقسیم شدند. گروه اول ( $n=13$ ) موشها بودند که مطالعه بر روی سپتوم جانی (LS) آنها صورت گرفت و گروه دوم ( $n=12$ ) شامل موشها بود که در آنها، آورانهای سپتوم میانی (MS/DDB) بررسی شد. روش کار برای هر دو گروه یکسان بوده و تنها در مختصات محل تزریق با یکدیگر تفاوت داشتند.

### \* نحوه تزریق HRP

HRP مورد استفاده تیپ VI (۵۰۰۰۰ واحدی - سیگما) با غلظت ۲۰-۲۵ درصد بود که از حل کردن پودر HRP در سرم فیزیولوژی IP حاصل می‌شد. ابتدا موشها با ترکیب از کتامین و گزیلازین بصورت یهودش شده و سپس با استفاده از جراحی استریوتاکسیک و از طریق سرنگ هامیلتون یک میکروولتری به مقدار یک میکرولیتر ریدیاب تزریق گردید.

تزریق بر طبق اطلس پاکسینوس و با مرجع برگما تعیین گردید (۲۳). این مختصات برای سپتوم جانی ( $0/8 \text{ mm}$  AP،  $0/0 \text{ mm}$  L،  $4/8 \text{ mm}$  V) و برای سپتوم میانی ( $0/0 \text{ mm}$  AP،  $0/2 \text{ mm}$  L،  $6/4-7/2 \text{ mm}$  V) بود.

مقدار HRP تزریق شده یک میکرولیتر و سرعت تزریق  $0.5 \text{ mL/min}$  در دقیقه بود. پس از تزریق برای  $15-10$  دقیقه سرنگ در مکان خود باقی ماند تا از پخش شدن HRP جلوگیری شود. پس از پایان تزریق موضع را ضدغیرنی کرده، بخیه زده و پس از بهوش آمدن موش به حیوانخانه برگردانده شد.

### \* پروفیوژن در مراحل تثبیت

۴۸-۷۲ ساعت پس از تزریق، که زمان مورد نیاز برای جذب و انتقال ماده ریدیاب می‌باشد، موشها با همان ترکیب قبلی کتامین و گزیلازین از طریق IP عمیقاً بهوش شدند. بعد از بازگردان قفسه می‌بینند حیوان قلب را از پریکارڈ جدا کرده و پروفیوژن از طریق بطن چپ انجام شد. به مقدار  $100 \text{ mL}$  نیتریت سدیم  $1 \text{ mL}$  درصد نموده از عنوان گشادکننده عروقی و  $5/5 \text{ mL}$  هپارین برای جلوگیری از انعقاد خون تزریق شد. سپس در ابتدا توسط  $100 \text{ mL}$  میلی لیتر نرمال سالین  $9/0 \text{ mL}$  درصد برای شستشوی کامل عروق مغزی به مدت  $5$  تا  $10$  دقیقه استفاده شد. در ادامه  $50 \text{ mL}$  لیتر محلول فیکساتور حاوی گلوتارآلدئید  $1/25$  درصد و پارافرمالدهید  $1$  درصد در بافر فسفات  $1/1 \text{ M}$  ( $\text{pH}=7/4$ ) غبور داده شد. در خاتمه توسط  $200 \text{ mL}$  میلی لیتر محلول ساکاراز  $5-10 \text{ mL}$  درصد در بافر فسفات  $M/1$  به مدت  $30$  دقیقه عروق مغز شستشو داده شدند.

دیگر بخش‌های سپتوم جانی (LSV و LSD) و تا حدودی سپتوم خلفی را دربرمی‌گرفت. در نمونه‌هایی که تزریق در سپتوم میانی آنها صورت گرفته بود (شکل ۲ B و A) کانون تزریق در هسته MS و بازوی عضدی باند دیاگونال بروکا (VDB) در تمامی طول محور سری - دمی از خط وسط تا مرز جانی را دربرمی‌گرفت.

### \* توزیع نورونهای نشاندار شده با HRP

از مجموع ۱۳ نمونه که ماده ریدیاب به ناحیه سپتوم جانی آنها تزریق شده بود تنها در ۶ نمونه پاسخ مناسب حاصل شد. متعاقب تزریق ریدیاب به سپتوم جانی (شکل ۱ A) نورونهای نشاندار شده بطور یک طرفه در بخش پشتی ناحیه CA1 شاخ آمن و سایکولوم در سطح دمی تشکیلات هیپوکامپ شاخص گردیدند. در ناحیه CA2 نیز شمار کمی از سلولهای نشاندار مشاهده شدند (شکل ۱ تا D).

توزیع سلولهای نشاندار به گونه‌ای بود که بالاترین تجمع را در ناحیه میانی سایکولوم و CA1 داشتند و به طرف بخش‌های میانی در سایکولوم و شکمی در CA1 از تراکم آنها به نحو چشمگیری کاسته می‌شد. در بخش‌های دمی تشکیلات، جایی که این ساختمان در تمام طول پشتی - شکمی مغز امتداد دارد، سلولهای واجد HRP از بخش پشتی تشکیلات یعنی شکنج رترواسپلینال (Retrosplenial / RSG) و ناحیه پره سایکولوم (Prs) تا ادامه نواحی شکمی CA1 مشاهده می‌شدند. این نحوه توزیع، بویژه در CA1 و سایکولوم، متعاقب تزریق ماده ریدیاب به بخش‌های مختلف ناحیه سپتوم جانی در طول محور سری - دمی، مشاهده شد و تغییر در محل تزریق، تغییر کمی در توبوگرافی سلولهای نشاندار در CA1 و سایکولوم ایجاد نمود. شکل ۱ توزیع نورونهای نشاندار را در تشکیلات هیپوکامپ متعاقب تزریق ریدیاب به LS نشان می‌دهد. همانطور که در این تصاویر مشاهده می‌شود در مرز CA1/S سلولهای نشاندار در تمامی ضخامت لایه پیرامیدال حضور دارند و در واقع تشکیل چند ردیف سلول در این ناحیه را می‌دهند در حالی که به طرف نواحی شکمی و CA2، سلولها بیشتر در یک لایه و با تراکم کمتر قرار می‌گرفتند. از ۱۲ نمونه که تزریق ریدیاب به ناحیه MS/DBB در آنها صورت گرفته بود در ۸ نمونه محل تزریق مناسب تشخیص داده شد.

تزریق ریدیاب به ناحیه سپتوم میانی (شکل ۲ A و B) نیز سبب نشاندار شدن شماری از نورونها در لایه پیرامیدال تشکیلات هیپوکامپ گردید. در این مورد نیز نشان دار شدن نورونها (شکل ۲ C) بصورت یک طرفه در طرف تزریق در سطوح دمی تشکیلات صورت گرفته بود و بخش‌های پشتی CA1 و سایکولوم حاوی نورونهای نشاندار بودند. این نورونها اصولاً در ناحیه میانی CA1 و سایکولوم متراکم بودند و دیگر نورونهای نشاندار در CA1 و سایکولوم در نزدیکی این مرز قرار می‌گرفتند. شمار نورونها در CA2 بسیار ناچیز و بخش‌های شکمی CA1 و سایکولوم فاقد نورونهای نشاندار بودند.

نورونهای نشاندار در تشکیلات هیپوکامپ پس از تزریق به MS بسیار کم رنگ بودند به طوری که تشخیص آنها در نواحی سری تشکیلات و همچنین در نواحی به غیر از مرز CA1/S مشکل و نیاز به

سپس مغز را از جمجمه خارج کرده و در همان محلول فیکساتیو به مدت ۲۴ ساعت قرار دادیم.

### \* برشنگیری

توسط دستگاه ویراتوم مقاطع کرونال ۷۰ میکرومتری در جهت روسکال به کودال از مغز تهیه و در ظرف مخصوص (Multidish) حاوی بافر فسفات M / ۱ pH = ۷/۴ در پیچال نگهداری شدند. مقاطع بصورت یک در میان جهت انتخاب اجرا شدند.

### \* واکنش هیستوشیمیایی

این عمل بر طبق روش Mesulam 1982 به ترتیب زیر انجام گرفت (۲۴). بر شهابه مدت ۲۰ دقیقه در ظرفی حاوی نیتروفری سیانید (سیگما) و ترامیل بتزیدین (TMB-Sigma) در تاریکی مطلق انکوبه شدند. سپس مقدار ۱ میلی لیتر محلول ۰/۳ درصد آب اکسیرینه به محلول انکوباسیون اضافه گردید. سپس بر شهابه با محلولی از بافر استات شستشو داده شدند. مقاطع روی لامهای ژلاتینه شده قرار داده و خشک شدند.

### \* رنگ آمیزی

به دنبال خشک شدن کامل مقاطع رنگ آمیزی با استفاده از رنگ قرمز خشی انجام شد. پس از این مرحله لامگذاری توسط چسب انتلان (Merck) انجام شد.

### \* مطالعات میکروسکوپی

کلیه نمونه‌ها با کمک میکروسکوپ نوری و با استفاده از اطلس پاکسینوس و واتسون مورد مطالعه قرار گرفتند. نمونه‌های مناسب با استفاده از میکروسکوپ Ziss عکسبرداری شدند.

### \* آنالیز کمی و آماری

به منظور برآورد تعداد سلولهای نشاندار شده در کل هسته مورد مطالعه برای هر نمونه از فرمول زیر استفاده شده است.

$$N_t = N_s \frac{S_t}{S_s}$$

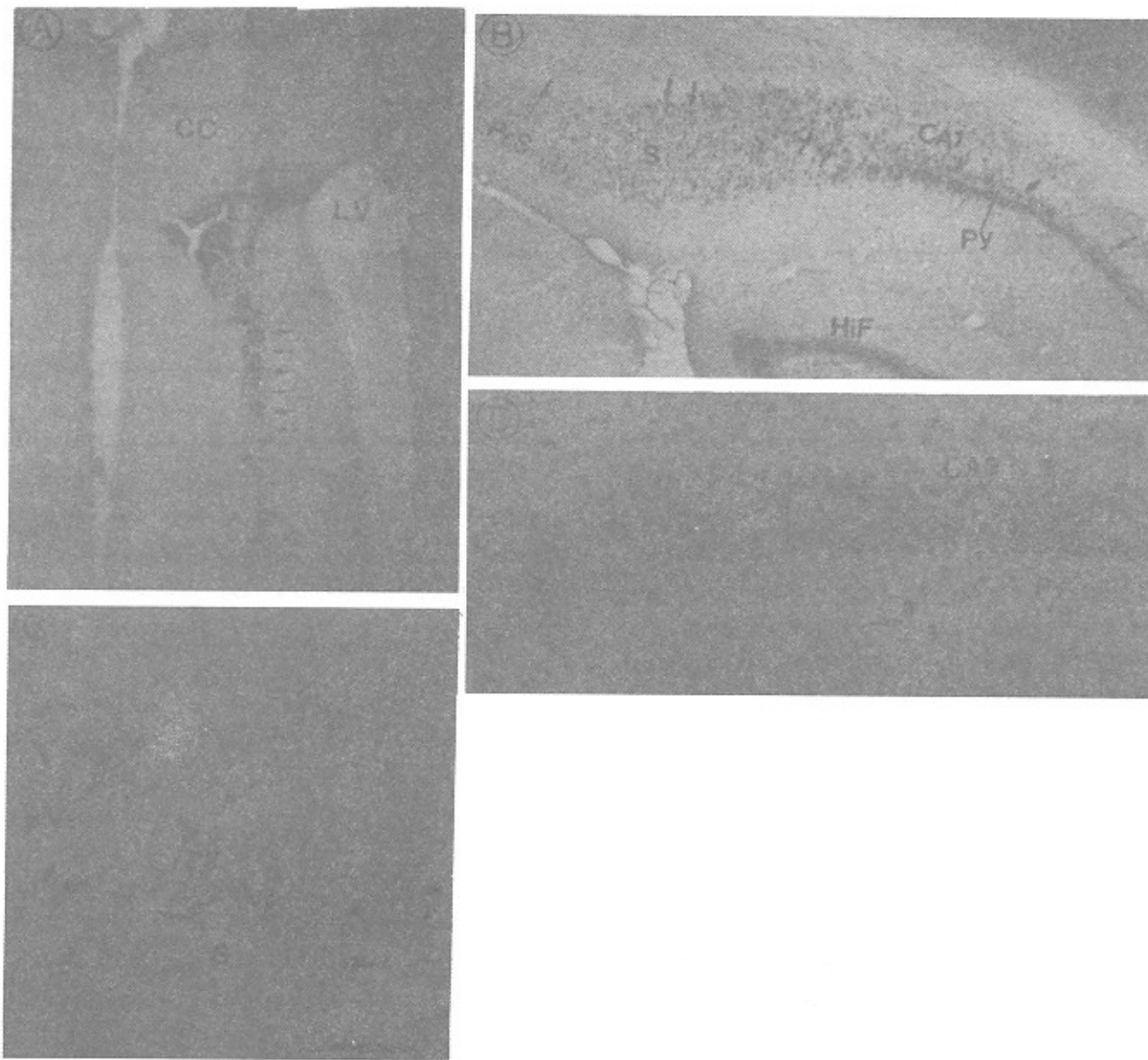
$N_s$  = تعداد کل سلولهای شمارش شده در نمونه مورد مطالعه

$S_t$  = تعداد کل مقاطع هسته مورد مطالعه

$S_s$  = تعداد کل مقاطع نمونه برداری شده

### یافته‌ها

محل تزریق در شکل ۱، تصویر A محل تزریق در سپتوم جانی را نشان می‌دهند. در مجموع کانون تزریق بخش میانی هسته سپتوم جانی در محور پشتی - شکمی و در بخش بینایینی ناحیه بین بطن جانی و خط میانی را دربرمی‌گرفت. به طرف سطح شکمی LS به میزان زیادی از تراکم ماده ریدیاب کاسته می‌شد. در محور سری - دمی ۱/۱ میانی هسته (برگما ۱ - ۰/۲) در کانون تزریق قرار داشت. در مجموع کانون تزریق در بخش بینایینی هسته سپتوم جانی قرار داشت. گسترش ماده ریدیاب



۴۲۸

شکل ۱: A- تصویر از محل تزریق در سیتوم جانبی است که پیکانها محل وارد شدن سرینگ باسپتوم جانبی را نشان می‌دهند. B- نورونهای نشاندار شده در قسمت پشتی تشکیلات هیپوکامپ و CA1 و S (اسوبیکولوم) می‌باشد. خط مقیاس= ۲۸۷/۵ میکرون. C- درشت نهانی بزرگتر از B می‌باشد. D- نورون‌های نشاندار از ناحیه CA2 که در آنده تصویر B می‌باشد. خط مقیاس = ۶۲ میکرون

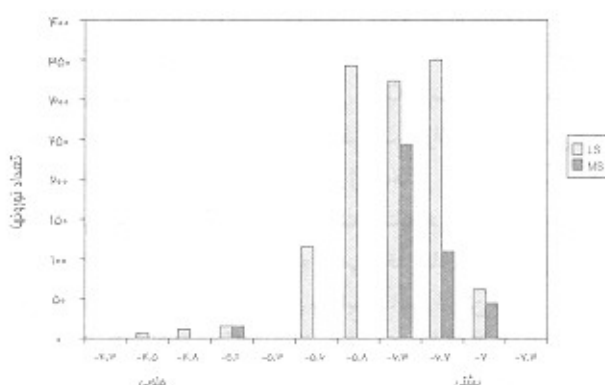
نشان می‌دهد. مطالعه این نمودار نشان می‌دهد که اگر چه فیرهای نورونهای مرتبط با LS و MS از نواحی یکانی از تشکیلات هیپوکامپ مشتاً می‌گیرند، لکن از نظر کمی اختلاف قابل ملاحظه‌ای بین آنها وجود دارد. در مجموع تعداد نورونهای نشاندار شده در تشکیلات هیپوکامپ متعاقب تزریق به LS در حدود ۳ برابر بیشتر از زمانی بود که در MS تزریق می‌شد. این اختلاف در مورد نواحی CA1 و CA2 و سایکولوم بخوبی آشکار است. تنها در CA1/S است که اختلاف آنها به کمترین حد خود می‌رسد. این شکل نشان می‌دهد در حالی که ابرانهایی از تشکیلات هیپوکامپ به ناحیه سپتوم میانی از نواحی لوکالیزه مشتاً می‌گیرند، یک ارسال همه جانبه از نمایی نواحی بخش خلفی این تشکیلات به LS گیل می‌شود. این موضوع در محور سری - دمی تشکیلات نیز صدق می‌کند (شکل ۴).

مطالعه دقیق داشت. در مرز CA1/S که سلو لها مشخص تر بودند حد اکثر رنگ پذیری آنها متوسط بود. این در حالت که تشخیص نورونهای نشاندار شده با HRP در تمامی نواحی تشکیلات پس از تزریق به سپتوم جانبی به آسانی و با یک مطالعه ساده صورت می‌گرفت و اکثر آنها دارای رنگ پذیری زیادی بودند.

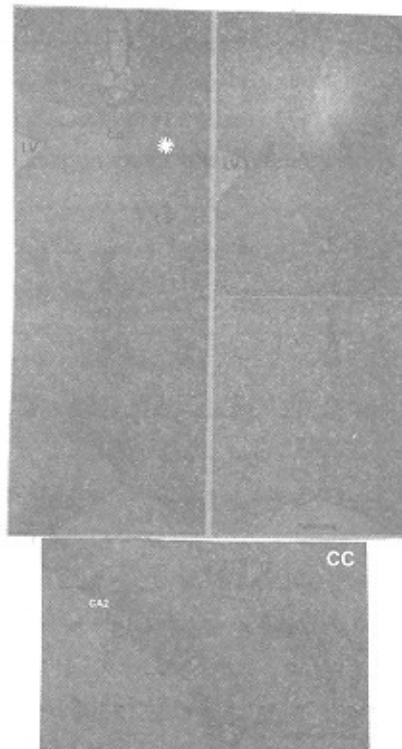
در هر دو نمونه‌های LS و MS هیچ نورون نشانداری در CA3 طرف تزریق و تشکیلات هیپوکامپ طرف مقابل تزریق مشاهده نگردید.

#### ۳ مقایسه کمی

شکل ۳ یک مقایسه کمی از شمار نورونهای نشاندار در نواحی مختلف تشکیلات هیپوکامپ متعاقب تزریق به LS و MS را



شکل ۴: هیستوگرام چکونگی توزیع نورونهای نشاندار شده در محور سری - دمی تشکیلات هیپوکامپ متعاقب تزریق ردیاب به سپتوم میانی و سپتوم میانی می باشد، اعداد فاصله از برگما را شان می بندند. در هر دو گروه، پرورژکت، از نیمه مخلف تشکیلات منشا مورکیدند و این در دور سپتوم میانی سلولهای منشآ بصورت متخرکتری، فراز گرفته اند.

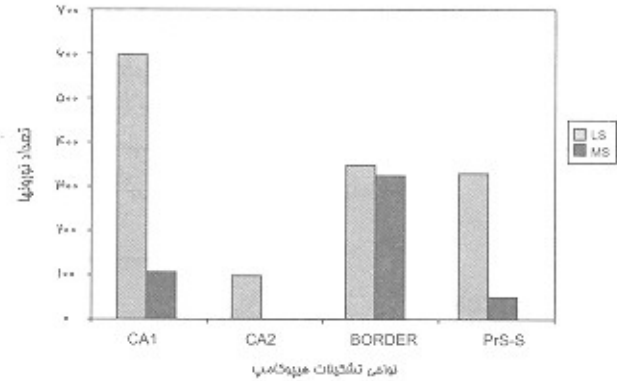


شکل ۵: A,B نصوبیر مریبوط به محل تزریق ردیاب به سپتوم میانی می باشد، سفاره و پیکانها در تصویر A، فیرهایی که بد طریق رتروگراد HRP را انتقال می بندند، شان می بندند. C- نورونهای نشاندار در ناحیه CA2 تشکیلات هیپوکامپ [پیکانها] را نشان می بندند.  
خط مقیاس = ۲۰ نیکرون

## بحث

نتایج حاصل از این تحقیق نشان می دهد که نواحی CA1 و CA2 شاخ آمون و سایبیکلوم در نواحی دمی تشکیلات هیپوکامپ آورانهای فراوانی را به نیمه شکمی هسته سپتوم جانبی ارسال می دارند. بیشترین تراکم سلولهای نشاندار شده در بخش های پشتی CA1 و سایبیکلوم، در بخش خلفی تشکیلات هیپوکامپ مشاهده شد و بطرف بخش های شکمی در هیپوکامپ خلفی (که ناحیه CA2 را نیز شامل می شود)، تراکم سلولهای به میزان زیادی کاهش می یافتد. هیچ سلول نشانداری در CA1 و سایبیکلوم بخش های سری تشکیلات هیپوکامپ مشاهده نشد. این نحوه توزیع سلولهای نشاندار شده متعاقب تزریق ردیاب به بخش های مختلف در طول محور سری - دمی بطور یکسانی مشاهده شد. در ناحیه CA1 و سایبیکلوم تعداد و نحوه توزیع سلولهای نشاندار الگوی مشابهی را نشان می دادند. تمامی سلولهای نشاندار شده هرمی شکل بوده و در لایه پیرامیدال حضور داشتند. در گزارش ارائه شده توسط Swanson و Cowan (۱۹۷۹) یک الگوی توپوگرافیک برای، آورانها از تشکیلات هیپوکامپ به هسته سپتوم جانبی معروفی می شود. بر اساس این گزارش آورانها از بخش سهاتالی (Rostrodorsal) (R) شاخ آمون و سایبیکلوم در بخش پشتی LS اختن می شوند و بطرف بخش های تپرزال (Caudoventral)، سلولهای در تشکیلات هیپوکامپ، بخش های شکمی تر LS را عصب دهی می نمایند. الگوی توپوگرافیک مشابهی توسط Ino و همکاران با استفاده از تکنیک ردیابی التروگراد WGA-HRP، در گرگه گزارش شده است. در این منابع، متنه سلولهای پرورژکت کننده در لایه پیرامیدال عنوان شده است. در مطالعه حاضر، نشاندار شدن سلولها از بخش میانی تشکیلات هیپوکامپ در محور سری - دمی شروع و به سمت بخش های خلفی تشکیلات افزایش می یافتد. دوباره در قطب تمپرال شمار سلولهای نشاندار کاهش می یافتد. کانون تزریق در نمونه های مطالعه حاضر در نیمه شکمی LS قرار داشت که بخش های میانی نر در محور پشتی - شکمی بیشترین

همانطور که در شکل ۴ مشاهده می شود بخش های بیشتری از تشکیلات در بخش خلفی درگیر عصب رسانی به ناحیه سفال جانبی می باشند.



شکل ۶: هیستوگرام مریبوط به توزیع نورونهای نشاندار شده در نواحی مختلف تشکیلات هیپوکامپ متعاقب تزریق ردیاب به سپتوم جانبی و سپتوم میانی می باشد. بجز در ناحیه مرزی بین CA1 و سایبیکلوم در دیگر نواحی تشکیلات، اختلاف قابل ملاحظه ای در شمار نورونهای نشاندار شده در دو گروه مشاهده می گردد. در ناحیه مرزی گرچه شمار سلولهای نشاندار شده در دو گروه تقریباً برابر بود ولی شدت رنگ در گروه سپتوم جانبی بسیار بیشتر از گروه سپتوم میانی بود. CA1-2: fields of Amon's horn . CA1-2: fields of Amon's horn . PrS-S: Saisakulum و Sainbikulum

بود. ۲- با اینکه اکثر سلولهای نشاندار در لایه پیرامیدال حضور داشتند ولی تعدادی سلول نشاندار شده در لایه‌های غیرهرمی نیز مشاهده شد. همچنین سلولهای نشاندار در نمونه‌های سپتم میانی در مقایسه با نمونه‌های سپتم جانی بسیار کم رنگتر بودند. در تحقیقی که توسط Gaykema و همکاران (۲۲) با استفاده از روش ردیابی آنتروگراد (Phaseolus Vulgaris Leucoagglutinin) PHA-L است، نشان داده شد که سپتم میانی از نواحی CA1-3 شاخ آمون فیرهایی را دریافت می‌دارد. این محققین در نهایت بیان می‌کنند که فیرهای انتهایی در MS/DBB از هیپرکامپ، ظاهرآگولترالهایی از نورونهای غیرهرمی می‌باشدند و سهم سلولهای هرمی در عصب رسانی به MS/DBB کم می‌باشد. ۹۶ درصد آورانها از تشکیلات هیپرکامپ به سپتم میانی گاباگلریک بوده و عمدها بر سلولهای گاباگلریک حاوی پارالوبومین در سپتم میانی، ختم می‌شوند و تعداد کمی هم با نورونهای کولینریک در این ناحیه سیناپس می‌دهند (۲۷). هر دو نورونهای کولینریک و گاباگلریک در سپتم میانی، تشکیل مدار سپتوهیپرکامپ را می‌دهند. وجود این مدار برای انجام وظایفی که نیاز به حافظه کاری غیرفضایی و خاطره فضایی دارد ضروری می‌باشد و آسیب‌های دانسی سپتم میانی در این وظایف اختلال بوجود می‌آورند که هرراه با حذف ریتم ۰ هیپرکامپی می‌باشد (۱۲). بنابراین آورانها از تشکیلات هیپرکامپ به سپتم میانی را کامل می‌نمایند و می‌توانند تنها نقش فیدبکی و تعدیل کننده برای این مدار را ایفا نمایند.

مطالب ارائه شده در این تحقیق نشان دهنده یک الگوی عصب رسانی یکسان از طرف تشکیلات هیپرکامپ به سپتم میانی و جانی می‌باشدند. بررسی کمی این آورانها و مشاهده توزیع دقیق سلولهای منشأ این آورانها نشان می‌دهد که آورانها به سپتم جانی وسیع، همه جانی و متراکم بوده در حالی که آورانها به سپتم میانی بسیار کم تعدادتر می‌باشند و از نواحی محدودتری منشأ می‌گیرند. تشکیلات هیپرکامپ از طریق ارتباط آورانی با ناحیه سپتال یک هدف اصلی و یک هدف غریعی را تأمین می‌نمایند. ابتدا از طریق ارتباط وسیع با سپتم جانی مرکز هیپوتalamوس و ساقه مغز تحت کنترل نواحی بالاتر تلاسنفالیک در آورده و سپس از طریق سپتم میانی عمل مدار سپتوهیپرکامپ در حافظه و یادگیری را تنظیم و تعدیل می‌نماید.

تراکم ردیاب را دارا بودند و بطرف بخش‌های شکمی تراز تراکم ردیاب به میزان زیادی کاسته می‌شد. این مطلب علاوه بر توضیح ناجهای از تشکیلات هیپرکامپ که بیشترین سلول نشاندار را شامل می‌شد، تعداد کم سلولهای نشاندار در بخش‌های شکمی CA1 و سایکولوم و همچنین CA2 را در هیپرکامپ خلفی (قطب تمپورال) توجیه می‌نماید. Cowan و Swanson محل ختم پروژکت‌ها از CA1 و سایکولوم را در نواحی یکسان از LS گزارش می‌کنند. متابع دیگر (۱) محل ختم آورانها از CA1 و سایکولوم را به تمامی بخش‌های LS در طول محور سری - دمی ذکر می‌کنند که موافق با تابعی حاصل از این تحقیق می‌باشد. آورانها از تشکیلات هیپرکامپ به سپتم جانی گلولاتانزیک می‌باشند و بر روی نورون هایی به نام نورونهای سوماتوامپاینی ختم می‌شوند (۱)، (۲۵، ۱۱). این سلولها منشأ اصلی واپرانهای LS به نواحی آمیگدال، دیانسفال و ساقه مغز را تشکیل می‌دهند (۲۶، ۲۷). این نورونها حاوی گابا بوده و پایانه‌های حاوی گابا از آنها در نواحی هیپوتalamوس جانی و قدامی مشاهده شده است که می‌تواند نشان دهنده مهار کننده این پروژکت‌ها باشد. از طریق این پروژکت‌ها و تعدیل عملکرد نواحی مختلف مغز بویژه دیانسفال، LS نقشی مهمی در رفتارهای انگیزشی، تهاجمی و دیگر رفتارهای مرتبط جنسی و اجتماعی ایفا می‌نماید (۱). در این میان، تشکیلات هیپرکامپ بعنوان یک مرکز تلاسنفالیک با حجم بالای ارتباطات آورانی می‌تواند از طریق LS کنترل مراکز سطح بالای مغزی را بر عملکرد نواحی اتونوم و کنترل کننده رفتار مغزی اعمال نماید. حجم زیاد آورانها از تشکیلات هیپرکامپ به LS و محل ختم آنها نشان‌دهنده یک عمل کنترلی گسترده این تشکیلات از طریق رله توسط LS بر روی نواحی دیانسفالیک و ساقه مغز که واپرانهای فراوانی را از سپتم دریافت می‌دارند می‌باشد.

متناعک تزریق ردیاب به سپتم میانی سلولهای نشاندار شده بطور یکظرقه، در قسمت پشتی CA1 و سایکولوم در بخش خلفی تشکیلات هیپرکامپ مشاهده شدند. همچنین تعداد بسیار کمی سلول در CA2 طرف تزریق مشاهده گردید و هیچ سلول نشانداری در ناحیه CA3 مشاهده نشد. نحوه توزیع سلولهای نشاندار در تشکیلات هیپرکامپ در این نمونه‌ها، باستثناء دو مورد اختلاف، مشابه نمونه‌ها با تزریق ردیاب در LS بود. ۱- در بخش خلفی تشکیلات هیپرکامپ سلولهای نشاندار پس از تزریق ردیاب به سپتم میانی عموماً در بخش پشتی CA1 و سایکولوم قرار داشتند و بخش شکمی این نواحی فاقد سلولهای نشاندار

## References

- Paxinos G: The rat nervous system. Academic Press, 2ed, 1994, pp 353-368
- Kohler C, Chan-palay V, Steinbusch H: The distribution and origin of serotonin-containing fibers in the septal area: a combined immunohistochemical and fluorescent retrograde tracing study in the rat. J Comp Neural 1982; 209: 91-111
- Lindvall O, Stenevi U: Dopamine and noradrenaline

- neurons projecting to the septal area in the rat. Cell Tiss Test 1978; 190: 383-407
- Segal M, Landis SC: Afferents to the septal area of the rat studied with the method of retrograde axonal transport of horseradish peroxidase. Brain Res 1974; 82: 23-268
- Staiger JF, Nurnberger F: Pattern of afferents to the lateral septum in the guinea pig. Cell-Tissue-Res 1989;

- 257(3): 471-490
6. Swanson LW, Cowan WM: The connections of the septal region in the rat. *J Comp Neurol* 1979; 186: 621-656
  7. Alonso, Kohler CA: Study of the reciprocal connections between the septum and the entorhinal area using anterograde and retrograde axonal transport methods in the rat brain. *J Comp Neurol* 1984; 225: 327-343
  8. Ino T, Yasui Y, Itoh K, Nomura S, Akitoshi T, Kameyama M, Mizuno N: Direct projections from ammon's horn to the septum in the cat. *Exp Brain Res* 1987; 68: 179-188
  9. Jakab RL, Leranth C: Synaptology and origin of somatostatin fibers in the rat lateral septal area: convergent somatostatinergic and hippocampal inputs of somatospiny neurons. *Brain Res* 1991; 565: 123-134
  10. Leranth C, Frotscher M: Organization of the septal region in the rat brain: cholinergic-GABAergic interconnections and the termination of hippocampo-septal fibers. *J Comp Neurol* 1989; 289: 304-314
  11. Givens BS, Olten DS: Cholinergic and GABAergic modulation of medial septal area: effect on working memory. *Behav Neurosci* 1990; 104(6): 849-855
  12. Gorman LK, Pang K, Frick KM, Givens B, Olten DS: Acetylcholine release in the hippocampus: effects of cholinergic and GABAergic compounds in the medial septal area. *Neurosci Lett* 1994; 166(2): 109-202
  13. Amaral DG, Kurz J: An analysis of the origins of the cholinergic and noncholinergic septal projections to the hippocampal formation of the rat. *J Comp Neurol* 1965; 240: 37-59
  14. Crutcher KA, Madison R, Davis JN: A study of the rat septohippocampal pathway using anterograde transport of horseradish peroxidase. *Neurosci* 1981; 6(10): 1961-1973
  15. Garris DR: Direct septo-hypothalamic projections in the rat. *Neurosci Lett* 1979; 13: 83-90
  16. Givens BS, Olten DS, Crawley JN: Galanin in the medial septal area impairs working memory. *Brain Res* 1992; 582: 71-77
  17. Lamour Y, Dutar PA, Septo-hippocampal and other medial septum-diagonal band neurons: electrophysiological and pharmacological properties. *Brain Res* 1984; 309: 227-239
  18. Mizumori SJY, Ward KE, Lavoie AM: Medial septal modulation of entorhinal single unit activity in anesthetized and freely moving rats. *Brain Res* 1992; 570: 188-197
  19. Pang K, Williams MJ, Olten DS: Activation of the medial septal area attenuates LTP of the lateral perforant path and enhances heterosynaptic LTD of the medial perforant path in ages rats. *Brain Res* 1993; 632: 150-160
  20. Rashidy-Pour A, Motaghed-Larijani Z, Bures J: Reversible inactivation of the medial septal area impairs consolidation but nor retrieval of passive avoidance learning in rats. *Behav Brain Res* 1996; 72: 185-188
  21. Vinogradova OS, Brazhnik ES, Staekhina VS, Kichigina VF: Modulation of septal influences on hippocampal neurons by cholinergic substances. *Neurosci Behav Physiol* 1995; 25(6): 453-461
  22. Gaykema RPA, Van der Kuil J, Hersh LB, Luiten PGM: Patterns of direct projections from the hippocampus to the medial septum-diagonal band complex: anterograde tracing with PHASEOLUS VULGARIS LEUCOAGGLUTININ combined with immunohistochemistry of choline acetyltransferase. *J Neurosci* 1991; 43(2/3): 349-360
  23. Paxinos G, Watson C: The rat brain in stereotaxic coordinates. Academic Press, second Edition 1986
  24. Mesulam MM: Tracing neural connections with horseradish peroxidase. Wiley A. Interscience publication 1982
  25. Jakab RL, Leranth C: Catecholaminergic, GABAergic, and hippocamposeptal innervation of GABAergic "somatospiny" neurons in the rat lateral septal area. *J Comp Neurol* 1990; 302: 305-321
  26. Varoqueaux F, Leranth C: Hypothalamo-septal enkephalinergic fibers terminate on AMPA receptor-containing neurons in the rat lateral septal area. *Synapse* 1997; 25(3): 263-271
  27. Toth K, Borhegyi ZTF: Postsynaptic targets of GABAergic hippocampal neurons in the medial septum-diagonal band of Broca complex. *J Neurosci* 1993; 13(9): 3712-3724

